

乙酰胆碱酯酶基因重组腺病毒的构建及其对猫食管平滑肌细胞的影响

徐恩斌, 张忠兵, 谢渭芬, 宁守斌, 林 勇, 蔡洪培

徐恩斌, 张忠兵, 谢渭芬, 宁守斌, 林勇, 蔡洪培, 中国人民解放军第二军医大学长征医院消化内科 上海市 200003

徐恩斌, 男, 1968-11-29, 山东省汶上县人, 汉族. 现为第二军医大学长征医院博士生.

项目负责人: 张忠兵, 200003, 上海市凤阳路 415 号, 中国人民解放军第二军医大学附属长征医院消化内科. zhongbingz@yahoo.com.cn

电话: 021-63610109-73254

收稿日期: 2003-05-14 接受日期: 2003-06-02

Construction of recombinant adenoviruses carrying AChE_T and its effect on smooth muscle cells

En-Bin Xu, Zhong-Bing Zhang, Wei-Fen Xie, Shou-Bin Ning, Yong Lin, Hong-Pei Cai

En-Bin Xu, Zhong-Bing Zhang, Wei-Fen Xie, Shou-Bin Ning, Yong Lin, Hong-Pei Cai, Department of Gastroenterology, Changzheng Hospital, Second Military Medical University, Shanghai 200003, China
Correspondence to: Zhong-Bing Zhang, Department of Gastroenterology, Changzheng Hospital, Second Military Medical University, Shanghai 200003, China. zhongbingz@yahoo.com.cn
Received: 2003-05-14 Accepted: 2003-06-02

Abstract

AIM: To construct the replication-deficient recombinant adenoviruses-AdAChE_T inserted both cat acetylcholinesterase (AChE_T) and green fluorescent protein (GFP) cDNA driven by CMV promoter using homologous recombination in bacteria provided by AdEasy system and to investigate the effect of AChE_T on cat smooth muscle cells.

METHODS: The AChE_T cDNA was obtained from the plasmids-pEFbos/AChE_T by digestion, and the shuttle plasmid-pAdTrack-CMV-AChE_T in which the AChE_T cDNA was inserted into the downstream of CMV promoter was established by ligation. Then the linearized shuttle plasmid was co-transformed into bacteria with backbone vector AdEasy-1 to obtain the recombinant adenoviral plasmids-pAd AChE_T by homologous recombination. After packed in 293 cells, the recombinant adenoviruses-Ad AChE_T were generated. The expression of AChE_T in cat smooth muscle cell was detected by RT-PCR and total AChE activity was determined.

RESULTS: The recombinant plasmid pAdAChE_T was established by homologous recombination and confirmed by restriction endonuclease digestion and sequencing. GFP expression could be observed on the third day after packing of the linearized pAdAChE_T in 293 cells and 4×10^{10} eufu/mL titer of Ad AChE_T was obtained by CsCl gradient purification. When the cat smooth cells were infected by the viruses for 3 days, expression of AChE_T and AChE activity in smooth cells increased significantly.

CONCLUSION: AChE_T can be simply and rapidly generated by using the AdEasy system. The infection of cat smooth muscle cells by Ad AChE_T can result in the high expression of AChE_T. Ad AChE_T may serve as a new tool for gene therapy of achalasia.

Xu EB, Zhang ZB, Xie WF, Ning SB, Lin Y, Cai HP. Construction of recombinant adenoviruses carrying AChE_T and its effect on smooth muscle cells. Shijie Huaren Xiaohua Zazhi 2004;12(1):117-120

摘要

目的: 利用 AdEasy 系统构建乙酰胆碱酯酶催化亚单位 (AChE_T) 重组腺病毒(AdAChE_T), 并观察其对平滑肌细胞细胞的影响.

方法: 将质粒pEFbos/AChE_T扩增、酶切获得AChE_T cDNA 片段插入腺病毒穿梭载体质粒pAdTrack-CMV的巨细胞病毒(CMV)启动子下游, 构建重组穿梭载体 pAdTrack - CMV - AChE_T, 线性化后与骨架载体 AdEasy-1 在细菌 BJ5183 内同源重组得到腺病毒质粒 pAd AChE_T; 将 Ad AChE_T 体外感染猫平滑肌细胞, 以 RT-PCR 检测 AChE_T 在平滑肌细胞的表达; 同时测定胆碱酯酶活力.

结果: 连接、重组后通过酶切和测序法筛选出pAd AChE_T; 经 293 细胞包装, 3 d 后观察到绿色荧光蛋白(GFP)明显表达, 氯化铯梯度离心纯化最终获得约 4×10^{10} eufu/L 滴度的重组病毒; Ad AChE_T 体外感染平滑肌细胞 3 d 后, AChE_T 表达明显增加, 乙酰胆碱酯酶活力较 Ad GFP 感染组和阴性对照组明显增加(0.546 ± 0.048 vs 0.495 ± 0.039 , 0.546 ± 0.048 vs 0.501 ± 0.037) (P 均<0.01).

结论: 利用新型腺病毒载体AdEasy系统可在短期内制备同时表达GFP和AChE_T的重组腺病毒 Ad AChE_T; Ad AChE_T 体外感染平滑肌细胞可显著提高 AChE_T 的表达, 这将为基因治疗贲门失弛缓症提供新的手段.

徐恩斌, 张忠兵, 谢渭芬, 宁守斌, 林勇, 蔡洪培. 乙酰胆碱酯酶基因重组腺病毒的构建及其对猫食管平滑肌细胞的影响. 世界华人消化杂志 2004;12(1): 117-120

<http://www.wjgnet.com/1009-3079/12/117.asp>

0 引言

贲门失弛缓症是一种食管运动障碍性疾病, 以食管缺

乏蠕动和食管下括约肌(lower esophageal sphincter, LES)松弛不良为特征。LES 松弛是 VIP 和 NO 共同作用的结果^[1-3], LES 收缩和张力升高是由外源性胆碱能神经控制的^[4-6]; 而乙酰胆碱的酶解主要是由乙酰胆碱酯酶参与完成。复制缺陷型重组腺病毒(replication-deficient recombinant adenovirus)是目前基因治疗最常用的载体之一, He TC^[7-8]建立了 AdEasy 系统, 我们利用 AdEasy 系统构建了外源插入乙酰胆碱酯酶催化亚单位(acetylcholinesterase, AChE_T)AChE_T cDNA 片段的复制缺陷型腺病毒 Ad AChE_T, 并观察 Ad AChE_T 在猫食管平滑肌细胞中的表达, 为贲门失弛缓症基因治疗提供新的手段。

1 材料和方法

1.1 材料 AdEasy 系统: 穿梭质粒 pAdTrack-CMV, 骨架质粒 pAdEasy-1, 仅插入 GFP 的对照重组腺病毒质粒 pAdGFP, 大肠杆菌 BJ5183 由 He TC 博士惠赠^[8]; AChE_T 表达质粒 pEFbos/AChE_T 由 Legay 教授(The Journal of Neuroscience, 1999;19: 8252-8259)惠赠; 293 细胞购自中科院细胞所, 传代数不超过 50 代; E. coli JM109, DH5 α 购自华舜公司; 5, 5'-二巯基-3'-硝基苯甲酸(DTNB), 由中科院生化所提供。

1.2 方法 将 E. coli JM109 和 BJ5183 置于 37 °C 生长至 A_{550} 约为 0.8 时, 收集细菌, 分别用 100 mL/L 的冷甘油洗 2 次, 500 倍浓缩后以 20 μ L/ 管分装, 置 -80 °C 冰箱保存。取含 AChE_T cDNA 的质粒 pEFbos/AChE_T 2 μ L 用氯化钙法转化感受态菌 JM109, 选择阳性克隆, 用 DNA 抽提纯化试剂盒(Qiagen)抽提、纯化质粒, 并作酶切鉴定。将扩增后的 pEFbos/AChE_T 5 μ g 用 Xba I, Hind III (NEB) 酶切后, 于 10 g/L 琼脂糖凝胶电泳。将 AChE_T cDNA 片段割胶, 凝胶抽取试剂盒(Qiagen)纯化, 并委托上海联合基因科技集团有限公司测序。将回收的 AChE_T cDNA 片段与质粒 pAdTrack-CMV 分别用限制性内切酶 Xba I, Hind III (NEB) 酶切后, 14 °C 连接过夜。取 5 μ L 连接物氯化钙法转化感受态菌 JM109。小抽质粒并作酶切鉴定, 筛选已携带 AChE_T cDNA 片段的穿梭质粒 pAdTrack-CMV-AChE_T, 并委托上海联合基因科技集团有限公司自动测序。将测序正确的穿梭质粒 pAdTrack-CMV-AChE_T 抽提、纯化, 取 1 μ g 先后用限制性内切酶 Pme I (NEB) 酶切线性化、CIP(NEB) 去磷酸化后用 QIAquick PCR 纯化试剂盒(Qiagen)回收。取 0.4 μ g 线性化质粒与 0.1 μ g 超螺旋 pAd Easy-1 质粒在电压 2 500V, 电容 25 μ FD, 电阻 200 Ohms 条件下电穿孔共转化 BJ5183 感受态细菌。37 °C 摆床孵育 30 min, 卡那霉素 LB 培养基平板涂板, 于 37 °C 培养 24 h 后挑选 20 个最小克隆, 小抽质粒并作酶切鉴定。选择重组腺病毒质粒 pAd AChE_T, 氯化钙法转化感受态菌 JM109 大量扩增。1.2.1 包装腺病毒 Ad AChE_T 和对照病毒 AdGFP 将 293 细胞以 2×10^6 / 孔接种于 60 mm 培养皿, 24 h 后细胞密度生长至 60-80% 时, 将 10 μ g pAd AChE_T 用限制性

内切酶 Pac I (NEB) 酶切回收后, 取 4 μ g 线性化的 pAd AChE_T 以脂质体-DNA 复合物的形式加入 293 细胞中, 24 h 后更换含 100 mL/L 小牛血清(HighClone)的新鲜培养液, 3 d 后通过荧光显微镜观察 GFP 的表达。7 d 后收集 293 细胞, 于液氮和 37 °C 水浴中反复冻融 4 次, 以 3 mL/ 皿病毒上清再次感染 293 细胞进行扩增, 5 d 后收集细胞, 1 500 r/min 离心 7 min, 小心弃上清, 以 2 mL PBS/ 皿重悬, 反复冻融 4 次; 重复感染、收集步骤, 将最终收集的 PBS 重悬病毒上清用氯化铯(CsCl)梯度离心纯化。以同样方法在 293 细胞内包装对照病毒 AdGFP, 并作 CsCl 梯度离心。将 293 细胞以 5×10^5 / 孔接种于六孔板(Nunc), 于次日待细胞生长约 90% 后, 将病毒上清倍比稀释分别感染细胞, 72 h 后荧光显微镜下计算表达 GFP 细胞个数, 测定 Ad AChE_T 和 AdGFP 滴度(表达形成单位/升, efu/L)。

1.2.2 检测 Ad AChE_T 在猫平滑肌细胞中的表达 原代猫平滑肌细胞的分离按 Bitar et al (Am J Physiol, 1982; 242: G400-G407) 报道的方法加以修改。原代培养的平滑肌细胞以 5×10^5 / 皿接种于 60 mm 培养皿, 将病毒以 MOI 10-20 感染细胞, 3 d 后观察 GFP 表达; 以 Trizol 试剂盒(Qibco)抽提总 RNA 后, 逆转录反应 1 h, 取 2 μ L 逆转录产物为模板进行 PCR 扩增, 95 °C 30 s, 50 °C 30 s, 72 °C 2 min, 30 个循环; 10 g/L 琼脂糖凝胶电泳后测定 AChE_T 表达。乙酰胆碱酯酶活力采用微量 DTNB 法测定。应用 UV-754 型分光光度计于 414 nm 处测吸光度值(A 值), 以实验管 A 值减去对照管 A 值来表示酶反应速度。

统计学处理 所有数据用 $\bar{x} \pm s$ 表示, 组间差异应用 t 检验。

2 结果

将 pAdTrack-CMV 经 Xba I、Hind III 酶切后与割胶回收获得的 AChE_T cDNA 片段连接, 获得质粒 pAdTrack-CMV-AChE_T, 酶切鉴定获得 9.335 kb 的载体片段和 2.161 kb 大小 AChE_T cDNA 片段(图 1), 测序并作同源分析。

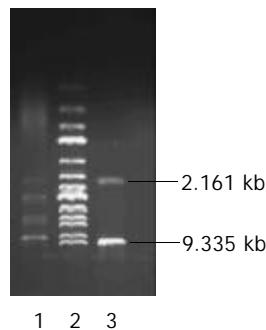


图 1 重组产物 pAd AChE_T 酶切鉴定。1: pAd AChE_T + Xba I、Hind III; 2: 1 kb Marker; 3: pAdTrack-CMV - AChE_T + Xba I、Hind III.

2.1 制备腺病毒 Ad AChE_T 将 Pme I 酶切线性化的 pAdTrack-CMV-AChE_T 与 pAdEasy-1 质粒共转化 BJ5183 感受态细菌, 筛选获得 pAd AChE_T, Pac I 酶

切获得约 30 kb 大小的腺病毒基因组片段和 3.0 kb 或 4.5 kb 的 ori 及卡那霉素抗性编码基因片段(图 2). Pac I 酶切线性化的 pAd AChE_T 转染 293 细胞 3d 后, 荧光显微镜下见约 10% 的细胞表达 GFP, 7 d 后可见大量 GFP 表达(图 3). 反复感染、冻融 293 细胞, CsCl 梯度离心纯化后测定 Ad AChE_T 滴度约为 4×10^{13} efu/L. 以同样方法获得对照病毒 AdGFP, 滴度约为 3×10^{13} efu/L.

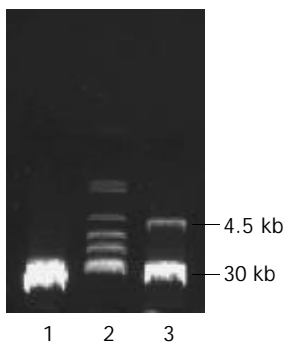


图 2 Pac I 酶切重组产物 pAd AChE_T. 1: pAd Easy-1+ Pac I ; 2: 10 kb Marker; 3: pAd AChE_T + Pac I .

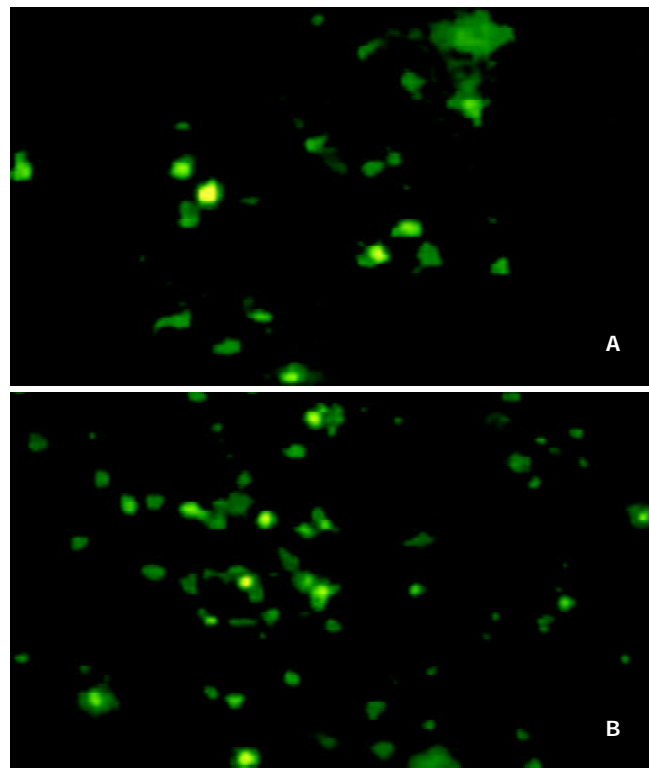


图 3 pAd AChE_T 转染 293 细胞 3 d(A) 及 7 d(B) 绿色荧光蛋白表达.

2.2 Ad AChE_T 在原代培养人平滑肌细胞中的表达 Ad AChE_T 感染原代培养的猫平滑肌细胞 3d 后, 荧光显微镜下可见 GFP 表达. RT-PCR 检测 Ad AChE_T 在平滑肌细胞中表达明显增强(图 4). Ad AChE_T 感染的平滑肌细胞的乙酰胆碱酯酶活力(A: 0.546±0.048)明显高于 Ad GFP 感染组(A: 0.495±0.039) ($P < 0.01$) 和阴性对照组(A: 0.501±0.037) ($P < 0.01$), 而 Ad GFP 感染组与阴性对照组比较无显著差异($P > 0.05$).

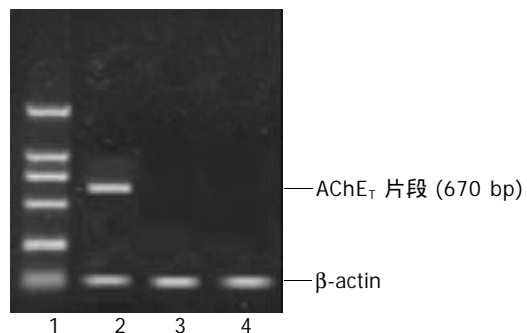


图 4 RT-PCR 法检测 Ad AChE_T 在平滑肌中的表达. 1: 100 bp Marker; 2: Ad AChE_T 感染; 3: Ad GFP 感染; 4: 阴性对照.

3 讨论

重组腺病毒在一些疾病基因治疗中有着很好的治疗效果和应用前景^[9-22]. 腺病毒不仅能够高效感染多种增生细胞, 而且也能感染静息哺乳类细胞, 且不与细胞的基因组发生整合, 不引起基因突变, 可以携带较大片段的外源基因, 是一种比较理想的用于基因治疗的表达载体^[12, 15, 22-23]. 乙酰胆碱酯酶是胆碱能突触的必需成分, 它通过快速地水解乙酰胆碱精密地控制胆碱能神经递质^[24-28]. 在电鳐和哺乳动物, 它可产生多种类型的亚型, AChE_T 是其主要亚型之一, AChE_T 是存在于脊椎动物的胆碱酯酶中的惟一的催化亚单位, 主要在大脑和肌肉中发挥作用^[29-31]. 将 AChE_T cDNA 转入 COS 细胞, 可产生 AChE 的 G₁ 型单体和 G₄ 型四聚体, 其中 G₄ 分子在细胞表面表达^[32]. 平滑肌细胞是组成胃肠道最重要的组织细胞之一, 是引起胃肠运动的效应细胞, 平滑肌膜上的毒蕈碱受体与胆碱能神经元释放的乙酰胆碱结合后引起平滑肌收缩. 抑制平滑肌收缩是治疗贲门失弛缓症、先天性巨结肠等疾病的方法之一, 其中构建携带 AChE_T 基因的重组腺病毒转染至平滑肌细胞表达, 进而提高乙酰胆碱的酶解效率, 是调控平滑肌收缩的主要方案之一.

为构建外源插入 AChE_T cDNA 片段的复制缺陷性腺病毒并应用于贲门失弛缓症的基因治疗, 我们利用细菌内同源重组机制构建腺病毒质粒的 AdEasy 系统. 首先通过体外连接构建插入 AChE_T cDNA 片段的穿梭质粒 pAdTrack-CMV - AChE_T. 通过 Pme I 酶切线性化后, 将线性的 pAdTrack-CMV - AChE_T 质粒左臂和右臂的同源区分别与骨架载体 pAdEasy-1 上的腺病毒基因组在大肠杆菌内进行同源重组, 同时利用抗生素筛选, 2 wk 内即可得到重组腺病毒质粒 pAd AChE_T. 通过 Pac I 内切酶线性化, 去除质粒上的 ori 和卡那霉素抗性编码基因, 并暴露其 ITR 序列后, 直接转染至 293 细胞内包装便得到了所需的重组腺病毒 Ad AChE_T. 由于在同源重组时整合了 GFP, 可在包装和扩增的同时直接观察转染和感染的效率, 大大缩短了基因治疗的构建和鉴定过程, 克服了传统方法步骤周期长, 效率低的缺点^[33-34].

为进一步将新构建的 Ad AChE_T 应用于贲门失弛缓症的基因治疗, 我们将一定滴度的 Ad AChE_T 体外感染

原代培养的猫平滑肌细胞。RT-PCR 和乙酰胆碱酯酶活力检测结果提示, Ad AChE_T 的表达不仅稳定高效, 同时大量瞬时表达 AChE_T 的平滑肌细胞乙酰胆碱酯酶活力增高, 从而可提高乙酰胆碱的分解, 抑制机体平滑肌的收缩。

4 参考文献

- 1 Vittoria A, Costagliola A, Carrese E, Mayer B, Cecio A. Nitric oxide-containing neurons in the bovine gut, with special reference to their relationship with VIP and galanin. *Arch Histol Cytol* 2000;63:357-368
- 2 Rumessen JJ, de Kerchove d'Exaerde A, Mignon S, Bernex F, Timmermans JP, Schiffmann SN, Panthier JJ, Vanderwinden JM. Interstitial cells of Cajal in the striated musculature of the mouse esophagus. *Cell Tissue Res* 2001;306:1-14
- 3 Kurjak M, Fritsch R, Saur D, Schusdziarra V, Allescher HD. Functional coupling between nitric oxide synthesis and VIP release within enteric nerve terminals of the rat: involvement of protein kinase G and phosphodiesterase 5. *J Physiol* 2001;534(Pt 3):827-36
- 4 Cao Y, Xie P, Xing Y. Role of endogenous cholinergic nerve in esophageal dysmotility with reflux esophagitis. *Zhonghua Neike Zazhi* 2001;40:670-672
- 5 Xie P, Medda B, Ren J, Mustin E, Shaker R, Koch TR. Choline acetyltransferase activity parallels the pressure gradient in the feline pharyngo-esophageal region. *Auton Neurosci* 2001;89:125-127
- 6 Nguyen VT, Hall LL, Gallacher G, Ndoye A, Jolkovsky DL, Webber RJ, Buchli R, Grando SA. Choline acetyltransferase, acetylcholinesterase, and nicotinic acetylcholine receptors of human gingival and esophageal epithelia. *J Dent Res* 2000;79:939-949
- 7 Breyer B, Jiang W, Cheng H, Zhou L, Paul R, Feng T, He TC. Adenoviral vector-mediated gene transfer for human gene therapy. *Curr Gene Ther* 2001;1:149-162
- 8 Paul R, Haydon RC, Cheng H, Ishikawa A, Nenadovich N, Jiang W, Zhou L, Breyer B, Feng T, Gupta P, He TC, Phillips FM. Potential use of sox9 gene therapy for intervertebral degenerative disc disease. *Spine* 2003;28:755-763
- 9 Takeda T, Inaba H, Yamazaki M, Kyo S, Miyamoto T, Suzuki S, Ehara T, Kakizawa T, Hara M, DeGroot LJ, Hashizume K. Tumor-specific gene therapy for undifferentiated thyroid carcinoma utilizing the telomerase reverse transcriptase promoter. *J Clin Endocrinol Metab* 2003;88:3531-3538
- 10 Gao H, Wang J, Zhang W, Jiang Y, Niu D, Wang X. Recombinant adenovirus carrying glial cell line-derived neurotrophic factor gene protect midbrain dopaminergic neurons in mice. *Beijing Daxue Xuebao* 2003;35:256-260
- 11 Siemens DR, Crist S, Austin JC, Tartaglia J, Ratliff TL. Comparison of viral vectors: gene transfer efficiency and tissue specificity in a bladder cancer model. *J Urol* 2003;170:979-984
- 12 Appleby CE, Kingston PA, David A, Gerdes CA, Umana P, Castro MG, Lowenstein PR, Heagerty AM. A novel combination of promoter and enhancers increases transgene expression in vascular smooth muscle cells in vitro and coronary arteries in vivo after adenovirus-mediated gene transfer. *Gene Ther* 2003;10:1616-1622
- 13 Gao JQ, Tsuda Y, Katayama K, Nakayama T, Hatanaka Y, Tani Y, Mizuguchi H, Hayakawa T, Yoshie O, Tsutsumi Y, Mayumi T, Nakagawa S. Antitumor effect by interleukin-11 receptor alpha-locus chemokine/CCL27, introduced into tumor cells through a recombinant adenovirus vector. *Cancer Res* 2003;63:4420-4425
- 14 Li H, Tang QY, Zhang Y, Wang SH, Guo CY. Development of a canine adenovirus type 1 vaccine strain E3-deleted based expression vector. *Zhongguo Yixue Kexueyuan Xuebao* 2001;23:40-44
- 15 Dong X, Hu JY, Xie TH, Sun MS, Dai CB, Ma YB. Construction of a recombinant human adenovirus expressing the ORF2 antigen of HEV and immunization of mice by mucosal system. *Zhongguo Yixue Kexueyuan Xuebao* 2003;25:324-328
- 16 Xu ZQ, Su CB, Chen SS, Ren ZY, Di X, Ma WB. Gene therapy of rat prolactinomas mediated by adenoviral vectors with rat tyrosine hydroxylase gene. *Zhongguo Yixue Kexueyuan Xuebao* 2003;25:185-189
- 17 Mukogawa T, Koyama F, Tachibana M, Takayanagi A, Shimizu N, Fujii H, Ueno M, Matsumoto H, Takeuchi T, Nakajima Y. Adenovirus-mediated gene transduction of truncated IkappaBalphal enhances radiosensitivity in human colon cancer cells. *Cancer Sci* 2003;94:745-750
- 18 Sun M, Zan Y, Ma Y, Zhang G, Du Q, Dai C. Expression and glycosylation of rotavirus strain SA11 VP4 protein in a recombinant adenovirus. *Chin Med Sci J* 2001;16:129-134
- 19 Tsutsui T, Koide H, Fukahori H, Isoda K, Higashiyama S, Maeda I, Tashiro F, Yamato E, Miyazaki J, Yodoi J, Kawase M, Yagi K. Adenoviral transfection of hepatocytes with the thioredoxin gene confers protection against apoptosis and necrosis. *Biochem Biophys Res Commun* 2003;307:765-770
- 20 Conget PA, Minguez JJ. Adenoviral-mediated gene transfer into ex vivo expanded human bone marrow mesenchymal progenitor cells. *Exp Hematol* 2000;28:382-390
- 21 Fujino M, Adachi K, Kawasaki M, Kitazawa Y, Funeshima N, Okuyama T, Kimura H, Li XK. Prolonged survival of rat liver allograft with adenoviral gene transfection of human immunodeficiency virus type 1 nef. *Liver Transpl* 2003;9:805-813
- 22 Chen SL, Zhang BR, Mei J, Xu ZY, Zhu JL, Cai KH, Huang SD, Liu YL. Induction of angiogenesis in ischemic myocardium by adenovirus mediated angiopoietin-1 gene transfer, an experimental study. *Zhonghua Yixue Zazhi* 2003;83:637-640
- 23 Davis AR, Wivel NA, Palladino JL, Tao L, Wilson JM. Construction of adenoviral vectors. *Mol Biotechnol* 2001;18:63-70
- 24 Breyer B, Jiang W, Cheng H, Zhou L, Paul R, Feng T, He TC. Adenoviral vector-mediated gene transfer for human gene therapy. *Curr Gene Ther* 2001;1:149-162
- 25 Minic J, Chatonnet A, Krejci E, Molgo J. Butyrylcholinesterase and acetylcholinesterase activity and quantal transmitter release at normal and acetylcholinesterase knockout mouse neuromuscular junctions. *Br J Pharmacol* 2003;138:177-187
- 26 Mense S, Simons DG, Hoheisel U, Quenzer B. Lesions of rat skeletal muscle after local block of acetylcholinesterase and neuromuscular stimulation. *J Appl Physiol* 2003;94:2494-2501
- 27 Deprez P, Inestrosa NC, Krejci E. Two different heparin-binding domains in the triple-helical domain of ColQ, the collagen tail subunit of synaptic acetylcholinesterase. *J Biol Chem* 2003;278:23233-23242
- 28 Steen MS, Froehner SC. Perle Can fix your muscle AChEs. *Trends Neurosci* 2003;26:241-242
- 29 Morel N, Leroy J, Ayon A, Massoulie J, Bon S. Acetylcholinesterase H and T dimers are associated through the same contact. *J Biol Chem* 2001;276:37379-37389
- 30 Massoulie J. The origin of the molecular diversity and functional anchoring of cholinesterases. *Neurosignals* 2002;11:130-143
- 31 Perrier AL, Massoulie J, Krejci E. PRIMA: the membrane anchor of acetylcholinesterase in the brain. *Neuron* 2002;33:275-285
- 32 Ohno K, Engel AG, Brengman JM, Shen XM, Heidenreich F, Vincent A, Milone M, Tan E, Demirci M, Walsh P, Nakano S, Akiguchi I. The spectrum of mutations causing end-plate acetylcholinesterase deficiency. *Ann Neurol* 2000;47:162-170
- 33 林勇, 陈伟忠, 谢渭芬, 张忠兵. 重组缺陷性腺病毒基因治疗肝纤维化的研究与应用. 世界华人消化杂志 2003;11:321-325
- 34 宁守斌, 张忠兵, 沈茜, 谢渭芬, 杨秀疆, 赵新, 信栓力. 胃肠道平滑肌细胞作为 eNOS 基因转移靶细胞的研究. 世界华人消化杂志 2003;11:986-989